



بهینه‌سازی آسیاهای گلوله‌ای سیمان به سبک نوین

- مهندس فریدون رحمانی (شرکت سیمان یاسوج)
- مهندس محسن یعقوبی (شرکت سیمان اردستان)

دارد. تعداد تنش‌ها نیز در صورت ثابت بودن درجه شارژ آسیا، با زمان ماند میانگین مواد خردایش شده داخل آسیا، مرتبط است. زمان ماند بهینه نه تنها به مواد خوراک و نتیجه دلخواه خردایش بستگی داشته، بلکه به عواملی همچون نسبت پرشوندگی شارژ گلوله و مخصوصاً به نسبت $\frac{L}{D}$ نیز بستگی دارد. بر اساس نتایج و ملاحظات موجود، بهینه سازی آسیاهای گلوله‌ای در کارخانجات با مدار خردایش نیمه پایانی به طور ویژه قابل حصول است.

مقدمه

در طول دهه گذشته کارخانجات سیمان با مدار خردایش نیمه پایانی برای خردایش کارای سیمان‌های کیفیت بالا به کرات استفاده شده‌اند. کارهای تحقیقاتی اخیر نشان داده است که عملکرد آسیا گلوله‌ای که در مدار خردایش (با چیدمان رولر پرس)، پایین دستتر از *HPGR* جانمایی می‌شود، همراه با سپراتور راندمان بالا می‌تواند به میزان قابل ملاحظه‌ای بهبود یابد. نتایج تحقیقات وسیع انجام شده بر روی مدارهای صنعتی خردایش نیمه پایانی نشان داد که با کاهش نسبت پرشوندگی شارژ گلوله از ۳۰٪ به ۲۰٪، از توان مخصوص مصرفی آسیا گلوله‌ای به طور تقریب ۲۰٪ کاسته می‌شود و در این حالت ظرفیت آسیا نیز در حدود ۲۰٪ کاهش می‌یابد.

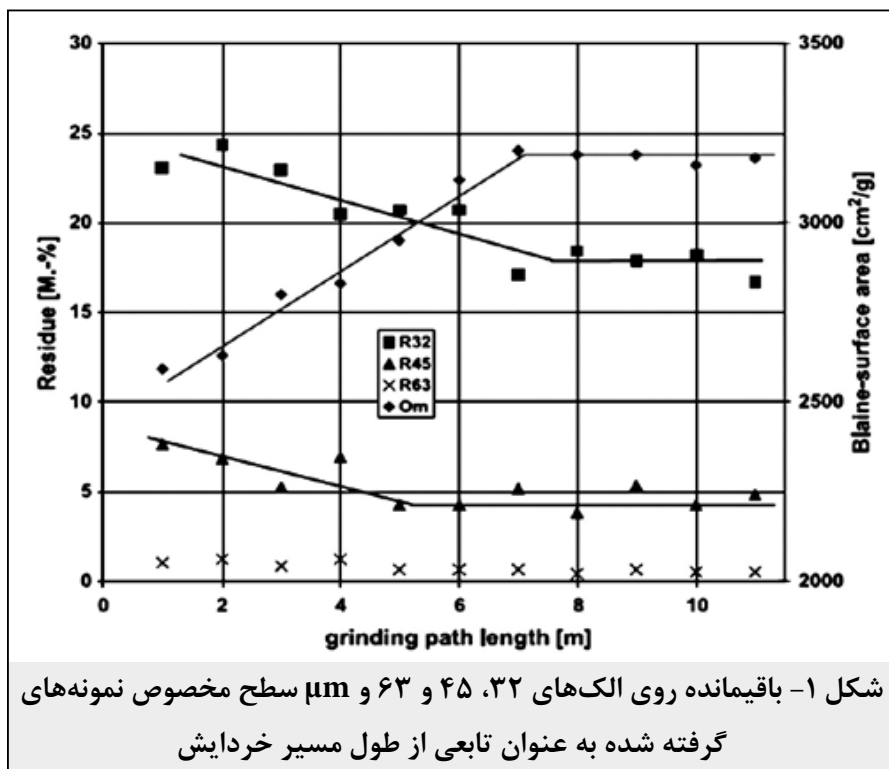
علاوه بر این نشان داده شده است نسبت $\frac{L}{D}$ در حدود ۳ برای آسیاهای سیمان یک نسبت معمول و متداول به شمار می‌رود. شاید این نسبت برای آسیاهای گلوله‌ای در کارخانجات با مدار

چکیده

در طول دهه گذشته کارخانجات با مدار خردایش نیمه پایانی برای بهره گیری بهتر از راندمان انرژی درجه تولید سیمان‌های کیفیت بالا استفاده شده‌اند. محققان دریافتند که با کاهش نسبت پرشوندگی شارژ گلوله، امکان کاهش انرژی مصرفی به طور قابل ملاحظه‌ای وجود دارد. همچنین محقق گردید که نسبت $\frac{L}{D}$ روی انرژی ویژه مصرفی و ظرفیت آسیا به خوبی تاثیر می‌گذارد. به همین منظور، برنامه‌های آزمایشی گسترده‌ای با آسیا گلوله‌ای نیمه صنعتی مدار بسته انجام شده است.

در این آزمایشات، بلین دو نوع خوراک (محصول میانی به ترتیب ۲۰۰ و ۳۰۰ cm^2/gr) بعنوان نمونه برای مدارهای خردایش نیمه پایانی در نظر گرفته شد. بلین محصولات خردایش شده نیز به ترتیب ۳۰۰ و ۳۸۰ cm^2/gr بودند. نسبت $\frac{L}{D}$ در این آزمایشات برای چهار حالت مختلف اعداد ۱/۷۵، ۲/۱، ۲/۷۹ و ۳/۴۹ و متفاوت است. تاثیر درجه شارژ گلوله بر روی انرژی مصرفی ویژه با اندازه گلوله میانگین مشخص می‌شود که در این بررسی‌ها بوسیله آسیا گلوله‌ای ناپیوسته ارزیابی شد. نتایج آزمایشات نشان داد که انرژی مصرفی با بکارگیری سایز گلوله کوچکتر به میزان قابل ملاحظه‌ای کاهش می‌یابد.

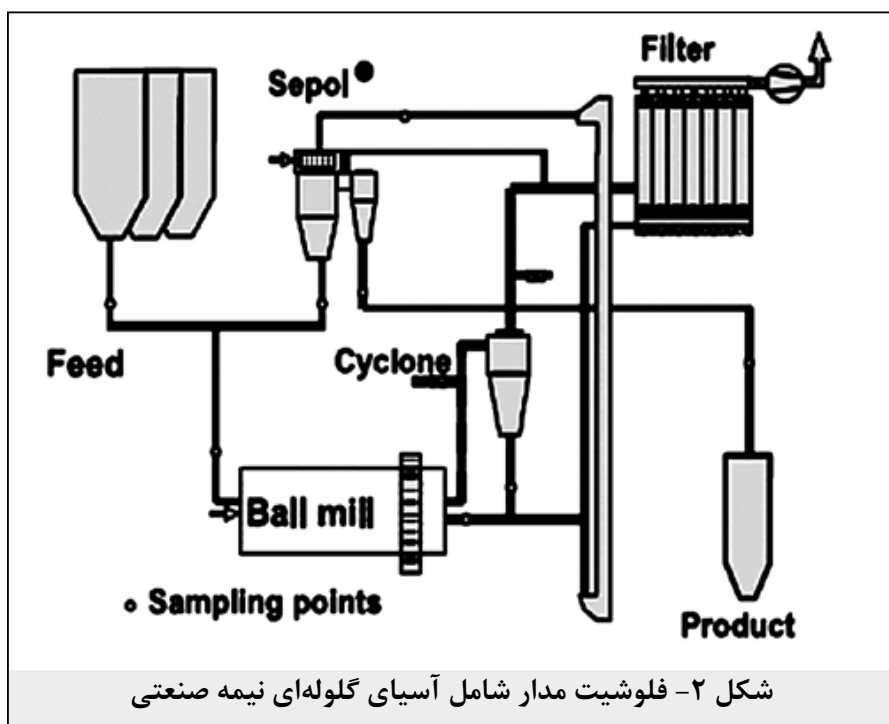
نتایج به دست آمده را می‌توان با ملاحظات تئوریکی مربوط به نقش شدت تنش و تعداد وقایع تنش به خوبی توضیح داد. شدت تنش به صورت توان ورودی به ازای گلوله تعریف می‌شود که به توان سوم قطر گلوله (D^3) و تا حدودی به قطر داخلی آسیا بستگی



شکل ۱- باقیمانده روی الکهای ۴۵، ۶۳ و ۹۰ μm سطح مخصوص نمونه‌های گرفته شده به عنوان تابعی از طول مسیر خردایش

خردایش ترکیبی (*Combi grinding*) بالا باشد. دلیل اثبات مطلب فوق این است که هیچ پیشرفت خردایشی در یک سوم آخر کل مسیر طولی خردایش دیده نمی‌شود. نیز اضافه می‌شود که این نتایج از نسبت‌های مختلف شارژ گلوله و دبی‌های جرمی مختلف ظرفیت آسیا تاثیر نمی‌پذیرند. نمونه‌ای از این نتایج در شکل ۱ به صورت سطح مخصوص جرمی (بلین) و باقیمانده بر روی الکهای ۶۳، ۴۵ و ۹۰ میکرون بر حسب طول مسیر خردایش آسیا (که نمونه‌گیری در متراژهای مختلف انجام شده است) ترسیم شده است.

نسبت پرشوندگی شارژ گلوله و نسبت $\frac{L}{D}$ ، توانان بر روی توان ویژه مصرفی و ظرفیت تاثیرگذارند. بعلاوه میزان ریزش خالص شارژ گلوله و درجه شارژ گلوله فاکتورهای مهمی برای کارکرد بهینه آسیای گلوله‌ای به شمار می‌روند.



شکل ۲- فلوشیت مدار شامل آسیای گلوله‌ای نیمه صنعتی

۲) حال نسبت $\frac{L}{D}$ و نسبت پرشوندگی شارژ گلوله

صرف توان ویژه همان طور که قبلاً اشاره شد از نسبت $\frac{L}{D}$ و پرشوندگی شارژ گلوله‌های آسیا تاثیر می‌پذیرد. در آسیاهای دو اطاقچه‌ای، سیمان پرتلند معمولی با بلین در حدود $3000 \text{ cm}^2/\text{gr}$ تولید می‌شود. نرمی محصول خروجی آسیا در حدود $1800 \text{ cm}^2/\text{gr}$ بوده و بلین مواد ورودی به اطاقچه دوم در حدود فقط $800 \text{ cm}^2/\text{gr}$ می‌باشد، در حالی که بلین مواد ورودی به آسیای گلوله‌ای در مدارهای خردایش (*Combi grinding*) در حدود $2000 \text{ cm}^2/\text{gr}$ بیشتر) می‌باشد. بنابراین این خوراک نمی‌تواند مستقیماً به آسیاهای گلوله‌ای یک اطاقچه‌ای در کارخانجات با مدار خردایش (*Combi grinding*) منتقل شود(به دلیل این که d_{80} مواد ورودی به آسیای سیمان خیلی ریز است، در طراحی مدار ممکن است دیافراگم بین دو اطاقچه برداشته شده و کل آسیا تک اطاقچه‌ای و مجهز به لایزر کلاسیفایینگ باشد، همچنین به علت کاهش عواملی مانند d_{80} و W_i ، شارژ ریزتر، مقدار آن کمتر و مصرف انرژی کمتر است). اما با این وجود مقدمه خوبی برای وارد شدن به مشکلات موجود به ما می‌دهد.

توان مصرفی ویژه در طی این آزمایشات در دامنه نسبت پرشوندگی شارژ گلوله‌ای 26% ، در مقادیر وسیعی ارزیابی شد. دامنه نسبت بهینه $\frac{L}{D}$ با حداقل $(3/2)$ است. برای آسیاهای تک اطاقچه‌ای به دلیل عدم وجود اطاقچه اول مورد استفاده برای خردایش ذرات درشت، این نسبت بهینه پایستی کمتر باشد. همچنین پیشنهاد می‌شود نسبت بهینه پرشوندگی شارژ گلوله برای آسیاهای گلوله‌ای ترکیبی کمتر باشد. به طور مثال اثر نسبت پرشوندگی شارژ گلوله برای خردایش سنگ کوارتز در حدود 15% به یک کاهش یکنواخت در انرژی ویژه مصرفی می‌رسد.

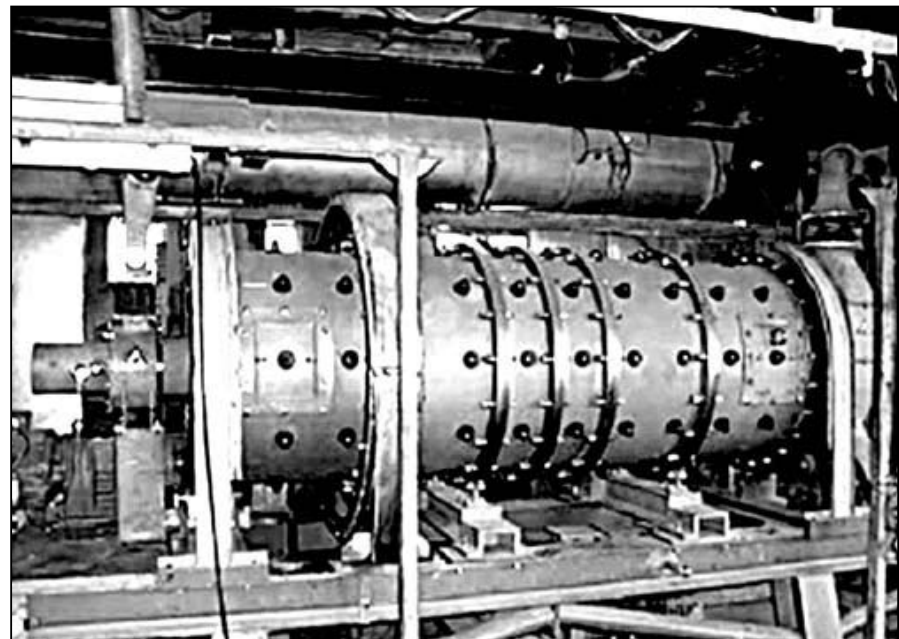
استاتیکی تهیه شده بود. بلین (نرمی) خوراک های مورد استفاده به ترتیب $2200 \text{ cm}^2/\text{gr}$ و $3000 \text{ cm}^2/\text{gr}$ بود. این اعداد نرمی محصولات واسطه اغلب کارخانجات طبیعی است که برای تولید سیمان های پرتلند تیپ $1-325$ و $1-425$ به کار می رود. در ضمن در این آزمایشات کمک سایش دی اتانول آمین جهت از بین بردن کوتینگ روی گلوله ها به خوراک تازه اضافه شد، خوراکها برای رسیدن به نرمی محصول $300 \text{ cm}^2/\text{gr}$ خردایش شدند.

۴) نتایج آزمایشات

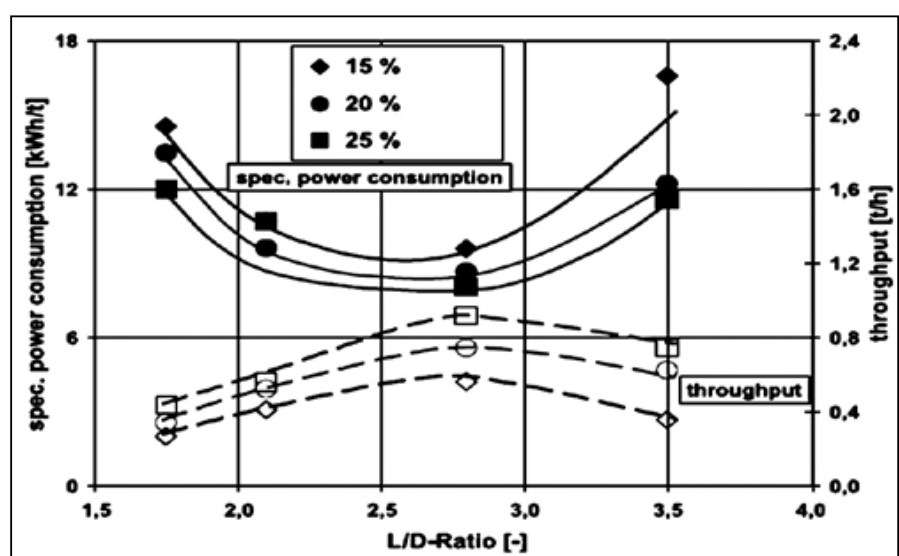
نتایج آزمایش در شکل های ۴ و ۵ ترسیم شده است. در هر دو شکل توان مصرفی ویژه (در سمت چپ نمودار) و ظرفیت (در سمت راست نمودار) بر اساس نسبت $\frac{L}{D}$ ترسیم شده است. شاخص مورد بحث، نسبت پر شوندگی شارژ گلوله می باشد. شکل ۴ نتایج را برای مواد خوراک درشت (بلین $2200 \text{ cm}^2/\text{gr}$) و شکل ۵ نیز نتایج را برای خوراک ریزتر (بلین $3000 \text{ cm}^2/\text{gr}$) نشان می دهد. شکل ۴ نشان می دهد که در نسبت $\frac{L}{D}$ در حدود $2/7-2/9$ ، ظرفیت آسیا حداقل و در همین دامنه ($2/7-2/9$)، توان مصرفی ویژه حداقل است. همچنین نسبت پر شوندگی شارژ گلوله در حدود 25% (یا بیشتر)، حالت بهینه دارد، زیرا ظرفیت به میزان قابل ملاحظه ای بالاتر می باشد (20%) که این مورد با آزمایشات انجام شده در درجات پر شوندگی پایین مقایسه گردید و در این مقایسه ملاحظه شد توان ویژه تقریبا 7% کمتر می شود.

برای خوراک های ریزتر (بلین $3000 \text{ cm}^2/\text{gr}$) روال مشخصی از نسبت $\frac{L}{D}$ و ظرفیت آسیا وجود ندارد. در این آزمایش، ظرفیت آسیا بین $\frac{L}{D}$ های $2/1-2/7$ تقریبا ثابت می ماند. نسبت پر شوندگی شارژ گلوله 25% در قیاس با نسبت های پر شوندگی 20 و 15% ، ظرفیت آسیا را در حدود 4 و 10% افزایش می دهد. نسبت بهینه $\frac{L}{D}$ در ارتباط با توان مصرفی ویژه در دامنه $2-2/4$ واقع می شود. برخلاف خوراک درشت به نظر می رسد نسبت پر شوندگی شارژ گلوله کمتر (در حدود 18%) مفید باشد. به همین منظور برای کاربردهای صنعتی باستی تصمیم گرفت که کدام هدف به صرفه می باشد: توان مصرفی ویژه کمتر یا ظرفیت بیشتر.

برای تعیین روند پیشرفت خردایش در مسیر اطاقچه ها، آسیا در چندین آزمایش زیر بار متوقف شده و نمونه ها در فواصل 40 الی 50 cm در طول مسیر خردایش گرفته شد و توزیع دانه بندی این نمونه ها توسط طیف سنج لیزری آنالیز گردید و پارامترهای تابع دانه بندی (Bennet و Sperling) رزین راملر به $PSDs$ (شیب توزیع $RRSB$) معادله $RRSB$ (nth) به صورت تابعی از طول مسیر خردایش در



شکل ۳- آسیای گلوله ای نیمه صنعتی

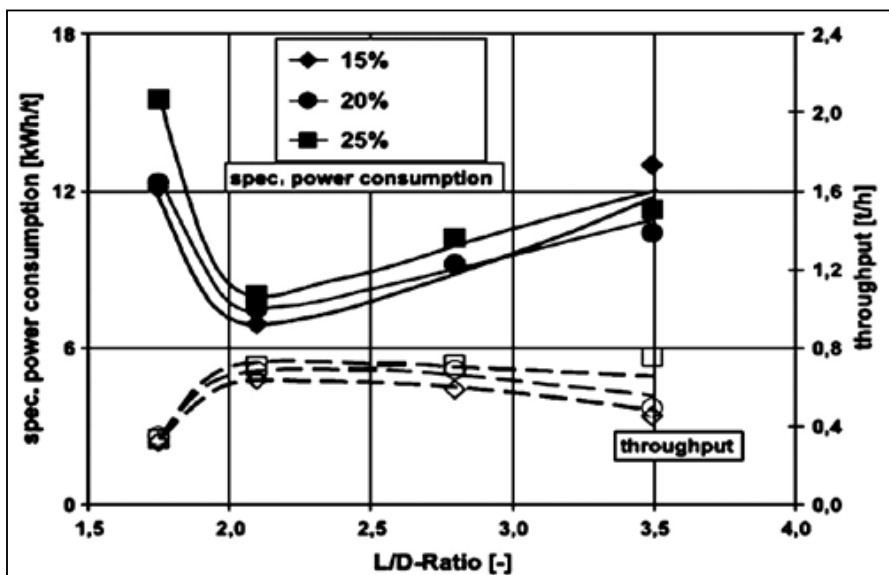


شکل ۴- توان مصرفی ویژه و ظرفیت در ارتباط با نسبت $\frac{L}{D}$ برای مواد خوراک درشت، شاخص: نسبت پر شوندگی شارژ گلوله

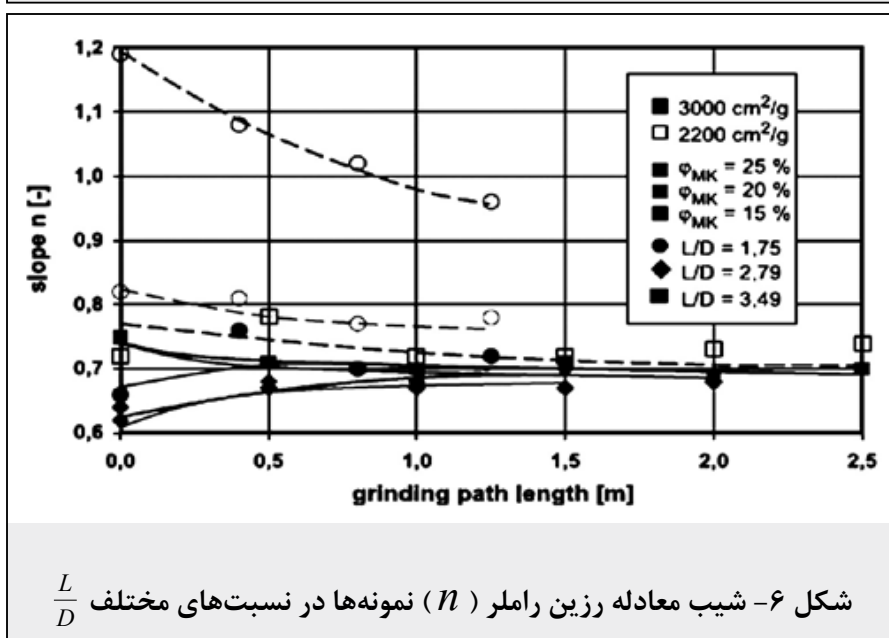
به صفحه لاینرهای مورد استفاده در صنعت می باشد. دیافراگم خروجی نیز نوع شکافدار است. درجه شارژ گلوله در طول این آزمایشات مشابه درجه استاندارد صنعتی با گلوله های بین 12 و 20 mm با قطر میانگین $15/8 \text{ mm}$ و وزن متوسط گلوله $15/2 \text{ gr}$ برای هر قسمت بود.

برای این آزمایشات دیافراگم خروجی سوراخدار (با منفذ قطر 4 mm ساخته شده بود). سرعت جريان هوای داخل آسیا در حدود $5/0 \text{ m/s}$ تنظيم شد. سرعت آسیا در $37/4 \text{ rpm}$ ثابت نگه داشته شده بود که در ارتباط با سرعت نسبی 75% سرعت بحرانی آسیا است. کار لاینرهای کلاسیفایینگ در چندین نوبت مورد بررسی قرار گرفت. در چندین مرحله نرمی محصول خروجی با تغییرات سرعت قفس روتور تنظیم شد. فاکتور بار سیرکوله نیز در این آزمایش، محدود به 3 شده بود.

(۲-۳) دو نوع مواد خوراک مورد استفاده در این آزمایشات با استفاده از مدار خردایش آسیای غلتکی فشار بالا با یک سپراتور



شکل ۵- توان مصرفی ویژه و ظرفیت در ارتباط با نسبت $\frac{L}{D}$ برای مواد خوراک ریز، شاخص: نسبت پر شوندگی شارژ گلوله



شکل ۶- شیب معادله رزین راملر (n) نمونه‌ها در نسبت‌های مختلف $\frac{L}{D}$

شدت تنش (SI) نیز به صورت انرژی میانگین تعریف می‌شود و توسط هر گلوله به مواد خردایش شونده منتقل می‌شود و باقیستی متناسب با توان ورودی به ازای گلوله $\frac{p}{n_k}$ باشد. پر واضح است که تعداد وقایع تنش (SN) به طور مستقیم مرتبط با میانگین زمان ماند داخل آسیا است. با توجه به مورد فوق معادله (۲) به صورت زیر در می‌آید:

$$W_m = \left(\frac{p}{n_k} \right) \left(\frac{n_k}{m} t \right) \quad (3)$$

n_k = تعداد گلوله‌ها

توان عملیاتی (جذب شده) در آسیاهای گلوله‌ای صنعتی برای چندین دهه با فرمول تجربی زیر محاسبه می‌شد:

$$p = \frac{\pi}{4} c \varphi_k \rho_k (1-\varepsilon) \frac{L}{D} D^{3.5} \quad (4)$$

که در آن قطر داخلی آسیا (D) و نسبت $\frac{L}{D}$ ، تخلخل شارژ گلوله (ε)، دانسیته واقعی بار خرد کننده (ρ_k)، نسبت پر شوندگی شارژ گلوله (φ_k) و فاکتور تجربی (C) است، فاکتور C نیز به عواملی همچون نسبت پر شوندگی شارژ گلوله، درجه گلوله مورد استفاده و لاینرهای آسیا بستگی دارد.

شکل ۶ ترسیم شده است. شاخص مورد قیاس، نسبت پر شوندگی شارژ گلوله است. ملاحظه می‌گردد که شیب منحنی رزین راملر در طول مسیر خردایش به مقدار ثابتی می‌رسد. همچنین مقادیر بالای (n) برای نسبت‌های پایین $\frac{L}{D}$ ، کاهش و مقادیر پایین n برای نسبت‌های بالای $\frac{L}{D}$ در طول مسیر خردایش افزایش می‌یابد. بعلاوه به نظر می‌رسد نسبت پر شوندگی شارژ گلوله بر روی ضریب شیب آسیاهای گلوله‌ای در کارخانجات سیمان با مدار Combi grinding قطعاً باستی مقدار $\frac{L}{D}$ پایین تر از ۳ باشد. برای مواد خوراک درشت و خوراک ریز به نظر می‌رسد که ارقام $\frac{2}{7}$ و $\frac{2}{3}$ مناسب باشد. پیشنهادات ارائه شده توسط Haubold (۲۰۰۱) چنین است که نسبت‌های $\frac{L}{D}$ در دامنه ۴-۵ فقط برای آسیاهای گلوله‌ای در مدارهای خردایش نیمه پایانی قابلیت کاربرد دارد که به صورت مدار باز به کار گرفته می‌شوند. اهمیت آسیاهای گلوله‌ای مدار باز بدلیل این که اغلب مشتریان سیمانی، ذرات در حدود $500\text{ }\mu\text{m}$ را در محصول نهایی قبول ندارند، کمتر اهمیت داده می‌شوند.

۵) شدت تنش و تعداد وقایع تنش

به منظور به دست آوردن رویه‌ای مشخص در جهت بهینه‌سازی آسیاهای گلوله‌ای آنالیز تئوریکی نتایج به دست آمده فواید زیادی را به دنبال دارد.

۱-۵) ملاحظات تئوریکی

فرایند خردایش در آسیاهای گلوله‌ای با عوامل زیر کنترل می‌شود:

- چگونه یک ذره از مواد خردایش شونده مورد تنش واقع می‌شود (تعداد تنش)
- با چه شدتی و چگونه ذره تحت تنش واقع می‌شود (شدت تنش) اگر شدت تنش (SI) و تعداد وقایع تنش (SN) بدون تغییر باشد، پیشرفت یا نتایج به دست آمده از خردایش (به عنوان مثال مساحت سطح جدید تولید شده) ثابت می‌ماند. بنابراین توان مصرفی ویژه جرمی (W_m) برای یک نتیجه خردایش معین متناسب با تولید تعداد تنش و شدت تنش می‌باشد:

$$W_m \propto SI \cdot SN \quad (1)$$

(W_m) از حاصل مصرف انرژی اندازه گیری شده آسیا در شافت p و ظرفیت محصول محاسبه می‌شود. ظرفیت نیز با تعیین میانگین زمان ماند مواد داخل آسیا بدست می‌آید:

$$W_m = \frac{p}{m} = \frac{p}{t} \cdot \frac{t}{m} \quad (2)$$

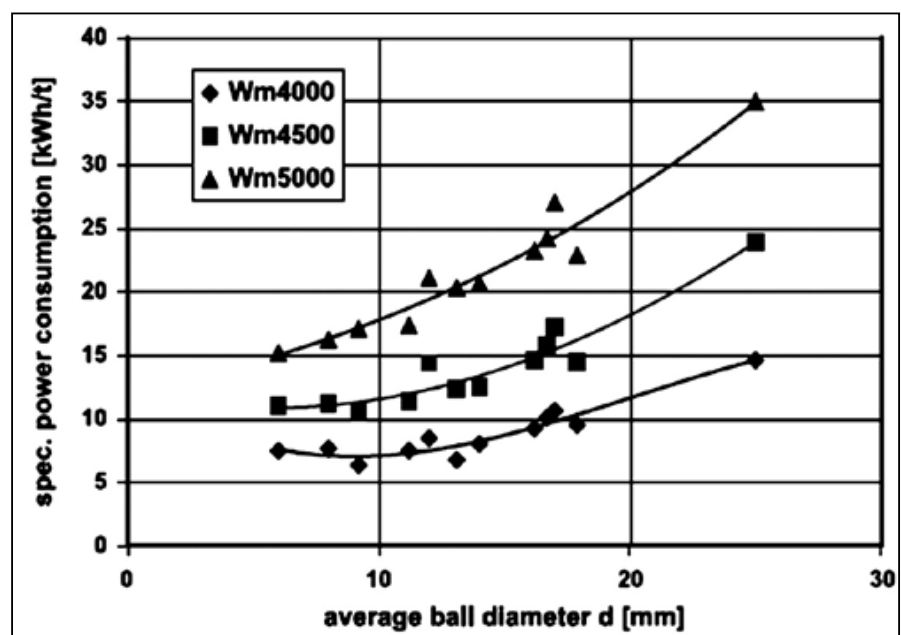
$$d = a\sqrt{x} \quad (9)$$

که در آن a = پارامتر برازش کننده و x = اندازه ذره است. مقدار پارامتر a را برای کلینکر سیمان با یک دقت مناسب می‌توان ۲۴ در نظر گرفت. خوراک آسیا با سطح مخصوص $1500 \text{ cm}^2/\text{gr}$ شامل ذرات بزرگتر از $500 \mu\text{m}$ خواهد بود. بنابراین بزرگترین گوله‌های آسیا بایستی قطری در حدود 17 mm داشته باشد. برای ذرات زیر $50 \mu\text{m}$ ، گوله 5 mm بایستی کافی باشد. اما این حقیقت مهم که در ارتباط با خردایش محصول واسطه در کارخانجات *Combi grinding* مورد تحقیق و بررسی قرار گرفته، معمولاً نادیده انگاشته می‌شود. برای این هدف آزمایش‌هایی با آسیای گوله‌ای ناپیوسته آزمایشگاهی با چندین درجه مختلف گوله انجام شده است.

آسیای آزمایشگاهی (قطر $75/0$ و طول $45/0$ متر، نسبت پرشوندگی شارژ گوله 10% و سرعت نسبی 88%) توسط کلینکری با سطح مخصوص بلین $2700 \text{ cm}^2/\text{gr}$ خوراک دهی می‌شود. مصرف توان مخصوص جرمی برای خردایش مواد تا نرمی‌های 3000 ، 4000 و $5000 \text{ cm}^2/\text{gr}$ تعیین شده بود. نتایج در شکل ۷ ترسیم شده است.

شکل ۷ شامل توان ویژه جرمی در ارتباط با قطر متوسط گوله در درجات گوناگون گوله می‌باشد. می‌توان مشاهده کرد که مصرف توان با کاهش قطر گوله کاهش می‌یابد. صرفه جویی بالقوه با افزایش نرمی محصول افزایش می‌یابد. می‌توان چنین نتیجه گرفت که با بکارگیری اندازه گوله‌های کوچکتر محصول دلخواه نرمتر به دست می‌آید.

درجات مختلف گوله (چند تایی) در مقایسه با درجات تکی با همان قطر متوسط گوله (یکسان) کارایی بیشتری نشان می‌داد. در هر صورت، انتقال مستقیم این خوراک به آسیای گوله‌ای صنعتی که به طور پیوسته کار می‌کند، ممکن نیست. دلیل اثبات این مدعای این است که موادی که در آسیاهای پیوسته خردایش می‌شوند باقیستی از طریق شارژ گوله حمل شوند. در ضمن گوله‌های خیلی کوچک با قطر کمتر از 8 mm تمایل به شناوری دارند. به علاوه، با گوله‌های کوچکتر، گرایش مواد به تشکیل آگلومراسیون بر روی لاینر و گوله‌های آسیا افزایش می‌یابد. لذا تمیز کردن لاینر و گوله‌های آسیا از پدیده آگلومراسیون با استفاده از گوله‌های کوچکتر (به دلیل وزن و انرژی کمتر) میسر نبوده و از این رو این مورد یکی از محدودیت‌های استفاده از گوله‌های خیلی ریز است، اما در کنار این مسائل، حذف این پدیده با افزودن کمک سایش امکان پذیر است.



شکل ۷- توان مصرفی ویژه آسیای گوله‌ای آزمایشگاهی به صورت تابعی از قطر متوسط گوله در درجات گوناگون گوله، شاخص: ریزی محصول نهایی

برای یک قطر ثابت آسیا (d) تعداد گوله‌های داخل آسیا می‌تواند مطابق با فرمول زیر محاسبه شود:

$$n_k = \frac{3}{2} \left(\frac{D}{d} \right)^3 \frac{L}{D} \varphi_k (1 - \varepsilon) \quad (5)$$

با ترکیب معادلات (۴) و (۵) برای انرژی ورودی به ازای گوله $\left(\frac{p}{n_k}\right)$ معادله ای به دست می‌آید که بایستی متناسب با شدت تنفس باشد:

$$BI \propto \left(\frac{p}{n_k} \right) = \frac{\pi}{6} \sqrt{D} d^3 c \rho_k \quad (6)$$

رابطه‌های اصلی بین پارامترها می‌توانند از معادله (۶) توجیه شود: انرژی به ازای گوله با دانسیته واقعی گوله‌ها و فاکتور C بستگی دارد. بیشترین فاکتور تاثیرگذار در این فرمول توان سوم قطر گوله است. بعلاوه نکته جالب توجه این است که در آسیاهای گوله‌ای با قطر بزرگتر، بیشترین انرژی به ازای گوله منتقل می‌شود.

قسمت دوم معادله (۳) با بکارگیری رابطه‌ای برای مقدار خوراک (m) که در زمان (t) در داخل آسیا موجود می‌باشد، می‌تواند به صورت معادله (۸) نوشته شود:

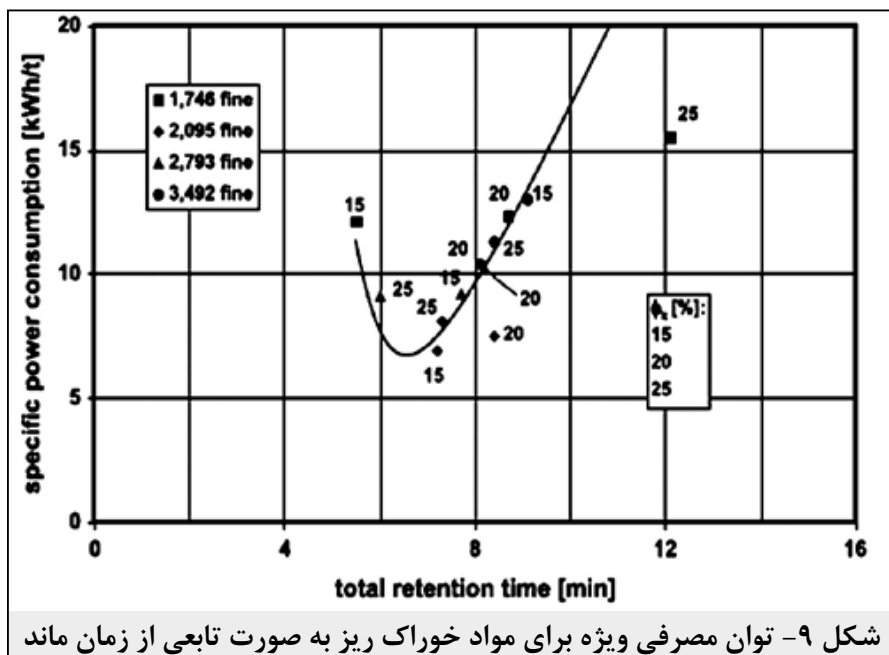
$$m = \frac{\pi}{4} D^3 \frac{L}{D} \rho \varphi_k \rho \varepsilon (1 - \varepsilon) \quad (7)$$

$$BH \propto \left(\frac{n_k}{m} t \right) = \frac{6}{\pi} \frac{1}{\varepsilon} \frac{t}{\rho d^3} \quad (8)$$

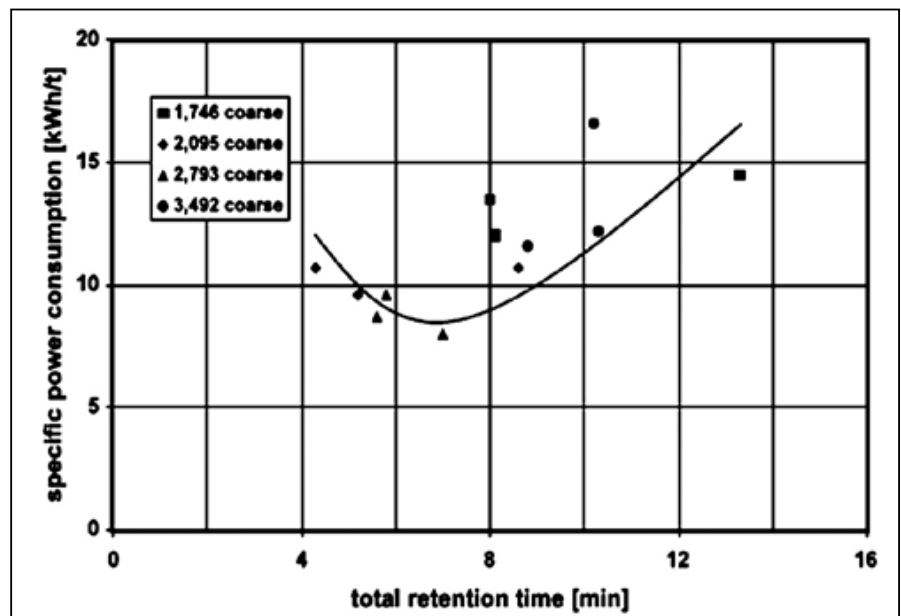
معادله (۸) نشان داد که تعداد و قایع تنفس متناسب با زمان ماند داخل آسیا و با دانسیته واقعی مواد و توان سوم قطر گوله نسبت معکوس دارد.

۲-۵) شدت تنفس و قطر گوله

قطر گوله‌ای که قادر است ذره‌ای از اندازه معین از مواد را خردایش کند بر اساس معادله باند با معادله تجربی به شکل زیر به دست می‌آید:



شکل ۹- توان مصرفی ویژه برای مواد خوراک ریز به صورت تابعی از زمان ماند خوراک داخل آسیا، مقادیر شکل ۵



شکل ۸- توان مصرفی ویژه برای مواد خوراک درشت به صورت تابعی از زمان ماند خوراک داخل آسیا، مقادیر شکل ۴

زمان ماند بهینه فقط به مواد خوراک و نتیجه دلخواه خردایش بستگی نداشته و به عواملی همچون نسبت پرشوندگی شارژ گلوله و مخصوصاً به نسبت $\frac{L}{D}$ نیز وابسته است. اثر فاکتورهای نسبت پرشوندگی شارژ گلوله و نسبت $\frac{L}{D}$ بر روی زمان ماند مواد خردایش شونده نیز به صورت جزئی مورد تحقیق و بررسی قرار گرفت. بعلاوه، گسترش آزمایشات راجع به تاثیر سرعت آسیا بر روی زمان ماند نیز لازم به نظر می‌رسد.

۷- مراجع

- 1-Blanc, E.C., Eckhardt, H., 1928. Technologie der Brecher, Mqhlen und Siebvorrichtungen. Springer Verlag, Berlin.
- 2-Bond, F.C., 1958. Grinding ball size selection. Mining Engineering 10 (5), S. 592–S. 595.
- 3-بنیسی، صمد. جزوه مهندسی خردایش، دانشگاه شهید باهنر کرمان، بخش مهندسی معدن(فراری مواد معدنی)
- 4-Haubold, S., 2001. Verbesserung des Arbeitsergebnisses von Mahlanlagen fqr Zement nach der Technologie der Teilstiftigmahlung. ZKG International 54 (10), 556– 565.
- 5- info@thyssenkrupp.com
- 6- Further studies of ball and powder filling effects in ball milling. Powder Technology 31, S. 121–S. 126.
- 7-High pressure rolls applications in the cement industry, mineral engineering, 19(2006), pp 130-139.

۳-۵) تعداد و قایع تنش و زمان ماند

نتایج به دست آمده با آسیای گلوله‌ای نیمه صنعتی (مراجعه به شکل‌های ۴ و ۵) راجع به تعداد و قایع تنش (محاسبه شده از فرمول (۶)) آنالیز شده است. برای سایز گلوله تغییر نیافته و دانسیته واقعی مشابه خوراک، تعداد و قایع تنش می‌تواند با زمان ماند متوسط خوراک داخل آسیا هم ارز و معادل شود. مقادیر محاسبه شده برای مواد درشت و ریز در شکل‌های ۸ و ۹ ترسیم شده است.

هر دو شکل نشان می‌دهد توان مصرفی ویژه در زمان حدود ۷ دقیقه کاهش قابل ملاحظه‌ای دارد. زمان ماند نیز از عواملی همچون نسبت پرشوندگی شارژ گلوله و نسبت $\frac{L}{D}$ تاثیر می‌پذیرد. این حقیقت که زمان ماند بهینه با نسبت‌های مختلف $\frac{L}{D}$ برای مواد خوراک درشت و ریز به دست آمده است، نشان می‌دهد که رفتار انتقال مواد فاکتور مهمی قلمداد می‌شود.

۶) نتیجه گیری

بر اساس نتایج و ملاحظات ارائه شده در این مقاله، بهینه‌سازی آسیاهای گلوله‌ای در کارخانجات سیمان با مدار خردایش Combi grinding امکان پذیر است. نتایج به دست آمده به خوبی با ملاحظات تئوریکی راجع به مفاهیمی همچون شدت تنش و تعداد و قایع تنش به خوبی تفسیر می‌شود. شدت تنش به صورت توان ورودی به ازای گلوله بیان می‌شود که خود بستگی به توان سوم قطر گلوله و تا حدودی نیز به قطر داخلی آسیا دارد. تعداد و قایع تنش را نیز در صورت ثابت بودن درجه شارژ گلوله می‌توان با میانگین زمان ماند مواد داخل آسیا به دست آورد.